論文 プレストレスを導入して開孔補強した RC 造有孔梁のせん断性状

赤木 大介*1・柳瀬 高仁*2・香取 慶一*3・林 静雄*4

要旨:RC 造有孔梁の孔周囲に生じるせん断ひび割れに対しプレストレスを導入して開孔補強することを目的に、開孔補強工法、プレストレス導入量、開孔補強筋比、コンクリート強度を変数として実験を行ない以下の知見が得られた。(1) プレストレス導入に用いた PC 鋼棒を開孔補強筋としてせん断終局強度を算定できた。(2) プレストレスを導入しない場合、長期許容せん断力時の孔部最大せん断ひび割れ幅は制御目標値 0.2mm に対して約 6 倍危険側に上回り、RC 造有孔梁の長期に対する検討の必要性を示した。

キーワード:開孔補強工法,プレストレス導入量,開孔補強筋比,コンクリート強度

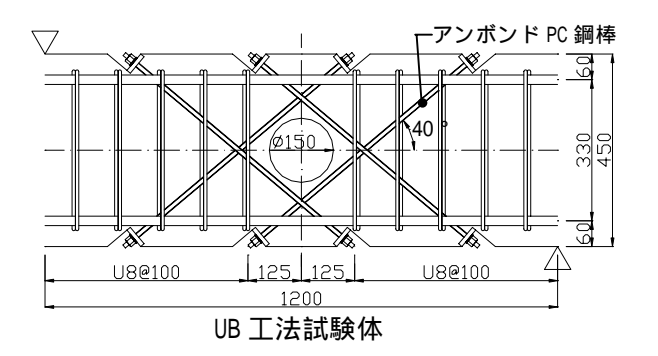
1. はじめに

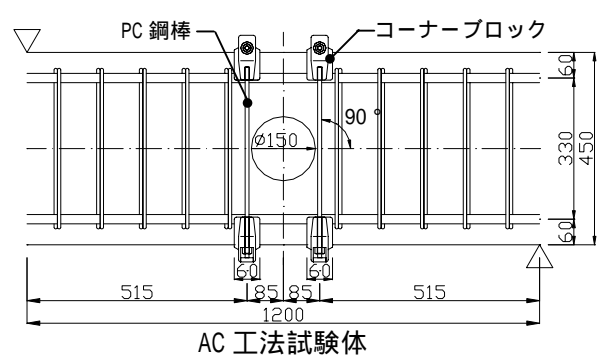
RC 造有孔梁は開孔によって断面が欠損しているため、孔周囲に性能上無視できないほどにひび割れ幅が進展する恐れがある。この問題に対して著者らは、有孔梁のひび割れ幅抑制策として新規RC造建物の有孔梁を想定し孔際にアンボンドPC鋼棒を斜め配筋しプレストレス(以下PS)を導入する開孔補強工法(以下UB工法)を提案した¹)。本研究ではUB工法のせん断ひび割れ抑制効果とせん断終局耐力についてPS導入量、PC鋼棒による開孔補強筋比、コンクリート強度の影響を検討するとともに、既存RC造梁に開孔を設けた場合を想定して孔際にPC鋼棒を回周させてPSを導入する開孔補強工法(以下AC工法)を新たに提案し補強効果を実験に基づき検討している。

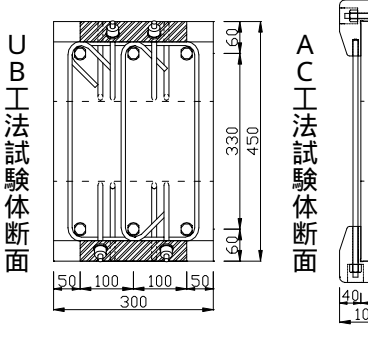
2. 実験概要

2.1 試験体

試験体を図-1、試験体一覧を表-1 に示す。全 試験体孔部せん断破壊型となるよう計画した。 共通因子は断面 b×D=300mm×450mm、孔径 H=150mm(=D/3)、シアスパン比 M/Qd=1.54、 主筋 3-D22 高強度ネジふし鉄筋(引張主筋比







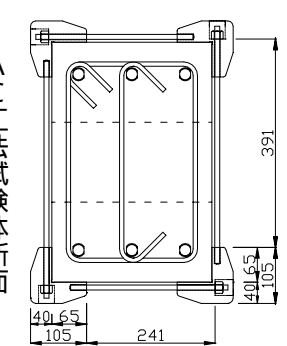


図-1 試験体図 Unit:mm

: 正加力方向

*1 東京工業大学大学院 総合理工学研究科環境理工学創造専攻 工修 (正会員)

*2 佐藤工業㈱ 中央技術研究所建築研究部門 工修 (正会員)

*3 東京工業大学助手 建築物理研究センター 工博 (正会員)

*4 東京工業大学教授 建築物理研究センター 工博 (正会員)

表-1	試験体一	. 讆
4.2 - 1	□ 11 × 11 × 11 × 11 × 11 × 11 × 11 × 11	蚛.

		7L\ 1	ロンバックト		ರ		
試験体 番号	PC径 (mm)	補強 工法	F _c (MPa)	p _p (%)	P ₁ (kN)	P ₁ /Py	σ_{D} (MPa)
No.1	7.1	ПD		0.22	-	-	-
No.2	7.1	UB		0.23	31	0.7	0.8
No.3		AC		0.27	40	0.5	0.8
No.4	9.2				15	0.2	0.4
No.5	9.2		30	0.38	31	0.4	0.8
No.6					61	0.8	1.7
No.7					-	-	-
No.8		UB			31	0.3	0.8
No.9	11			0.54	61	0.6	1.7
No.10	11			0.54	-	-	-
No.11			60		31	0.3	0.8
No.12					61	0.6	1.7

UB: UB 工法 AC: AC 工法

F_c: コンクリート設計基準強度

pp: 孔周囲 PC 鋼棒の開孔補強筋比

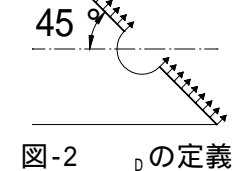
P1: PC 鋼棒 1 本当りの緊張力

P₁/Py:緊張力に対する降伏強度比

_D: 孔部 45°断面における平均 PS 応力

 $_D = nP_1 \cos(_P - _/4)/b(\sqrt{2D} - H)$ n: 孔部 45° 断面における PC 鋼棒の本数

n . れ訳 43 M国にのける PC ഐ倖の本数 _p:PC 鋼棒が材軸となす角度



 σ_{D}

No.12 No.9 No.6 1.7 1.3 No.11 No.5 0.8 Ng.4 0.4 No.10 文献 1) Ng.1 No.7 0.0 0.23 0.27 0.38 0.54 0.54 $p_p(\%)$:Fc30 , :Fc60

図-3 試験体間の 」とp。の関係

 p_i =0.99%) 肋筋 3-U8(孔際肋筋比 p_s =0.30%) 開孔補強筋として用いた PC 鋼棒は全て C 種 1 号である。UB 工法試験体はアンボンド PC 鋼棒を材軸に対してなす角度 40 °に 4 本づつ対称配置した。AC 工法試験体はコーナーブロックを介して PC 鋼棒を回周させ孔際左右に 1 組ずつ配置し、梁せい方向、梁幅方向ともに同じ緊張力を与えた。PS はポストテンション方式で導入し、PC 鋼棒に添付した歪みゲージにより計測した歪みで管理した。工法の違いによる PS の影響を定量化するため、孔周囲に生じるせん断ひび割れ角度を 45 ° としひび割れ面に作用する平均 PS 応力 p_s を定義した(図-2 p_s UB 工法試験体は PC 鋼棒径 (PC 鋼棒断面積)に基づいた

表-2 使用材料特性

鋼材	σ_{y}	$_{s}\sigma_{t}$	E_s	A	
(径)	(MPa)	(MPa)	(GPa)	(mm^2)	
梁主筋D22	1152	1279	190	387	
肋筋U8	874	943	195	50	
UB工法用PCφ7.1	1182	1192	185	40	
UB工法用PCφ9.2	1244	1282	193	66	
AC工法用PCφ9.2	1273	1312	196	66	
UB工法用PCφ11	1220	1292	195	95	
コンクリート	σ_{B}	$_{c}\sigma_{t}$	E_c	,	犬強度
(該当試験体)	(MPa)	(MPa)	(GPa)		張強度
No.1~3	42	3.0	25	E _s :弾性 A:断面	
No.4~6	39	2.8	24		縮強度
No.7~9	35	2.6	24		製強度
No.10~11	66	3.8	29	E _c :弹性	係数
				0.2%))

オフセット値

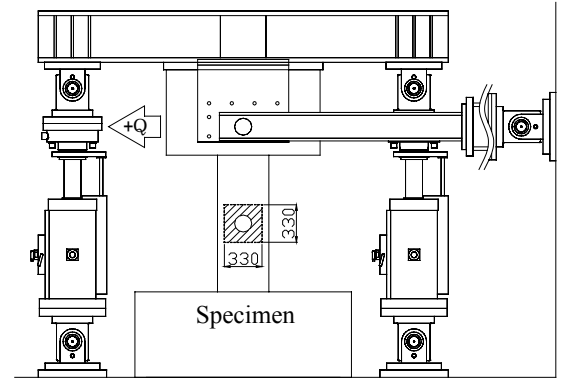


図-4 加力装置図(斜線部:ひび割れ測定範囲) 開孔補強筋比 p_p を 0.23、0.38、0.54%と設定した。また図-3 に示すように p_p ごとに平均 PS 応力を揃え、 p_p =0.54%の No.7 ~ 12 試験体はコンクリート設計基準強度 F_c 30、60 を変数とし、それらの影響が検討できるように設定した。

2.2 加力方法

加力装置図を図-4 に示す。加力形式には建研式曲げせん断加力を採用した。加力サイクルは変位で制御し部材角 R=±1/500rad、±1/200rad、±1/100rad、±1/67rad、±1/50rad、計±5 サイクル各1 回ずつ逆対称正負載荷を行った。

2.3 孔部せん断ひび割れ幅測定

孔周囲補強筋の有効な範囲 ²⁾330mm 角内(図-4)に生じたせん断ひび割れの幅を測定し荷重との履歴をとった。ひび割れ幅wはひび割れに対して直交方向に測定した値とし、孔部に生じた斜めひび割れを測定の対象とした。最小目盛0.01mm のデジタルマイクロスコープを用い、ひび割れ長さに対して30mm 間隔で測定した。

表-3 実験結果

試験	i体 cQbi	$_{1}$ $_{c}Q_{AL}$	$_{\rm c}{\rm Q}_{\rm AS}$	$_{\rm c}{\rm Q}_{\rm suo}$	$_{\rm e}{ m Q}_{ m sco}$	_e Q _m	ax eQmax	cQ _{bu} :略	算式に	こよる曲げ約	佟局強	渡		
番号		(kN)			(kN)	(kN	, .	cQ _{AL} :R	2 規準	^{[2)} による無	[孔梁(の長期許容も	せん断力	I
No.1				204	66	34	13 1.1					の短期許容も		l
No.2		179	346	294	101	35	1.2					みなした場合		
No.3				308	122	47	75 1.54	4 僧	正広	沢式(下式) [c]	はる計算値 ⁴))	
No.4					55	38	37 1.19	9	$-\int_{0.0}^{0.0}$	$92k_u \cdot k_p(F_c +$	+18) ₁	$[1.61H]_{+0.9}$	85 m. o	$\overline{\sigma_y + p_p \cdot_p \sigma_y} b \cdot j$
No.5		175	339	325	106	4(01 1.23	$c \mathcal{Q}_{suo}$	- \/	$M/(Q\cdot d)+0.$	12	$-\frac{1}{D}$	$SS_{\sqrt{p_s} \cdot s} O$	$(y + p_p \cdot p \cdot 0)$
No.6	783				129	44	1.38	$p_n:PC$	鋼棒	による開孔	補強	筋比 p _n = ((a _s (sin	p+cos p))/bc
No.7	/83				58	4(08 1.18			棒断面積		1 P		P P//
No.8		168	329	347	113	42	22 1.22			岡棒が材軸の	となす	角度		
No.9					141	42	24 1.22			棒の降伏強				
No.10	0				63	47	78 1.2	I Qsco:孔	部せん	ん断ひび割:	れ強度	E実験値		
No.11	1	218	403	395	98	51	1.3			力実験値				
No.12	2				138	5(07 1.29							
		600						(00					600	
N	lo.1	600					No.2	600				No.3	600	eQmax=475kN
'		400	_ е	Qmax=34	3kN		110.2	400		eQmax=356kN	4	110.5	400	
	- :)suo=294kN	200		ブン	- -1		: cOsuo=29	4kn 200			1	: cOsuo=308kN	200	
$ \widehat{z} ^{\alpha}$	/SU0-254KI			//	′.	2	CQSu0-29	4KIV = **		///	1 2	cQsuo=308kN	- 1	
(KN) O-25	20/11/1					Q(kN)		1/1			<u> </u>			
-25 -	-20 -13/-1	1 2 60 0	5	10 15 σ _B = 42]		-2	5 -20 -1	140 B	0 5	10 15 20 σ_B =42MPa	25	25 -20 15 -10		5 10 15 20 25 $\sigma_B = 42 MPa$
		100		Pp=0.2						Pp=0.23%		1 5 //	400	Pp=0.27%
		-400		$\sigma_D = 0 N$	- 1			-400		$\sigma_D=0.8MPa$.		-400	$\sigma_D=0.8MPa$
		-600 R(×10	-3 -	ов от				-600	3		┙ │		-600	
\Box		K(×10) rad)					R(×1	0 ⁻³ rad)			7	R(×10 ⁻³	rad) 開孔上下部
	*	K(×II	rad)	~		Y	*	R(×1	0 rad)			, - }-	R(×10°	rad) 開孔上下部
		K(×II	rad)	- C				R(×1	0 rad)				R(×10°	rad) 開孔上下部
		R(×10	rad)					R(×1	0 rad)			7	R(×10°	rad) 開孔上下部
		R(×10) rad)					R(×1	0 rad)			7	R(×10	rad)開孔上下部
		K(×II) rad)					R(×1	0 rad)			7	R(×10	rad)開孔上下部
		K(×II) rad)					R(×1	0 rad)			7		開孔上下部
		600		Omay=46	DRLN			R(×1				N. 12	R(×10°	m和上下部 eQmax=507kN
N	No.7			Qmax=40	98kN		No.9			eQmax=424kN		No.12		開孔上下部
_	-:	600		e Qmax=40	08kN		:	600				:	600	開孔上下部
-	0.7 -: :suo=347kN	600		eQmax=40	7		: :	600				: aOsua=305kN	600	開孔上下部
-	-:	600		Qmax=40	7	(kN)	: :	600			(kN)	: aOsua=305kN	600	開孔上下部
-	-:	600		10 15	7	, Q(kN)	: :	600		2Qmax=424kN 10 15 20	(NA)O	: aOsua=305kN	600	eQmax=507kN
2(kN)	-: Osuo=347kN	600		10 15 σ _B =35M	20 25 MPa	Q(kN)	: cQsuo=34 5 -20 -15	600 400 7kN 200		2Qmax=424kN 10 15 20 σ _B =35MPa	(N)O	:	400	eQmax=507kN
-	-: Osuo=347kN	600	5	10 15 σ _B =35M Pp=0.5	20 25 MPa 54%	, Q(kN)	: cQsuo=34 5 -20 -15	600		2Qmax=424kN 10 15 20 σ _B =35MPa Pp=0.54%		: aOsua=305kN	600	eQmax=507kN
-	-: Osuo=347kN	600 400 200 -400	5	10 15 σ _B =35M	20 25 MPa 54%	Q(kN)	: cQsuo=34 5 -20 -15	600 400 7kN 200 -400	0 5	2Qmax=424kN 10 15 20 σ _B =35MPa Pp=0.54% σ _D =1.7MPa		: aOsua=305kN	400	eQmax=507kN
-	-: 2suo=347kN -20 15 -1	600 400 200 400 -600 R(×10	5 5	10 15 σ _B =35M Pp=0.5 σ _D =0M	20 25 MPa 54% IPa		: cQsuo=34 5 -20 -15	600 400 7kN 200 -400		2Qmax=424kN 10 15 20 σ _B =35MPa Pp=0.54% σ _D =1.7MPa		: aOsua=305kN	400	eQmax=507kN
-	-: 2suo=347kN -20 15 -1	600 400 200 -400	5 5	10 15 σ _B =35M Pp=0.5 σ _D =0M	20 25 MPa 54% IPa		: cQsuo=34 5 -20 -15	600 400 7kN 200 -400	0 5	2Qmax=424kN 10 15 20 σ _B =35MPa Pp=0.54% σ _D =1.7MPa		: aOsua=305kN	400	eQmax=507kN
-	-: 2suo=347kN -20 15 -1	600 400 200 400 -600 R(×10	5 5	10 15 σ _B =35M Pp=0.5 σ _D =0M	20 25 MPa 54% IPa		: cQsuo=34 5 -20 -15	600 400 7kN 200 -400	0 5	2Qmax=424kN 10 15 20 σ _B =35MPa Pp=0.54% σ _D =1.7MPa		: aOsua=305kN	400	eQmax=507kN
-	-: 2suo=347kN -20 15 -1	600 400 200 400 -600 R(×10	5 5	10 15 σ _B =35M Pp=0.5 σ _D =0M	20 25 MPa 54% IPa		: cQsuo=34 5 -20 -15	600 400 7kN 200 -400	0 5	2Qmax=424kN 10 15 20 σ _B =35MPa Pp=0.54% σ _D =1.7MPa		: aOsua=305kN	400	eQmax=507kN
-	-: 2suo=347kN -20 15 -1	600 400 200 400 -600 R(×10	5 5	10 15 σ _B =35M Pp=0.5 σ _D =0M	20 25 MPa 54% IPa		: cQsuo=34 5 -20 -15	600 400 7kN 200 -400	0 5	2Qmax=424kN 10 15 20 σ _B =35MPa Pp=0.54% σ _D =1.7MPa		: aOsua=305kN	400	eQmax=507kN
-	-: 2suo=347kN -20 15 -1	600 400 200 400 -600 R(×10	5 5	10 15 σ _B =35M Pp=0.5 σ _D =0M	20 25 MPa 54% IPa		: cQsuo=34 5 -20 -15	600 400 7kN 200 -400	0 5	2Qmax=424kN 10 15 20 σ _B =35MPa Pp=0.54% σ _D =1.7MPa		: aOsua=305kN	400	eQmax=507kN

図-5 Q-R 曲線とひび割れ図(破線枠:ひび割れ測定範囲)

3. 実験結果

3.1 破壊状況

表-3 に実験結果一覧、図-5 にせん断力 Q と部材角 R の関係と最大耐力時のひび割れ図を示す。全試験体とも最大耐力時まで梁主筋、肋筋は降伏しなかった。UB 工法試験体は孔周囲に生じたせん断ひび割れ幅が卓越し破壊に至った。

実験変数において開孔補強筋比の一番小さい No.1・2 試験体は R=+1/67 手前で PC 鋼棒が降伏 し最大耐力に達した。他の UB 工法試験体は R=+1/67 で最大耐力を迎えた。AC 工法 No.3 試験体は正側最終部材角 R=+1/50 まで耐力低下を示さなかったが、同部材角負側において開孔上下部がせん断破壊し耐力低下した。

3.2 孔部せん断ひび割れ性状

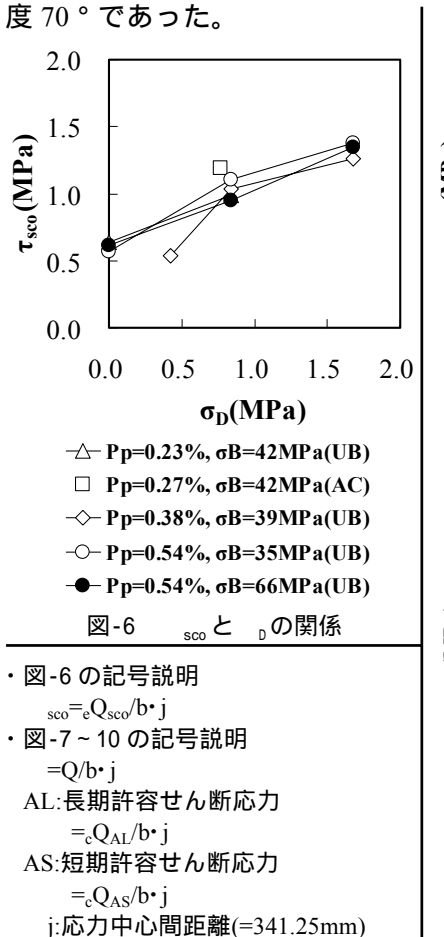
図-6 に孔部せん断ひび割れ強度 $_{sco}$ と孔部 45° 断面における平均 $_{D}$ PS 応力 $_{D}$ との関係を示す。 $_{sco}$ は $_{D}$ PS 導入量の増加に伴い上昇する傾向を示した。しかし $_{D}$ =0.4 $_{D}$ PS では強度上昇を示さなかった。また $_{sco}$ に開孔補強筋比 $_{D}$ アンクリート圧縮強度 $_{D}$ が与える影響は見られなかった。 $_{sco}$ が $_{D}$ に依存しなかった理由は、梁せいの $_{D}$ 1/3 の開孔を設けたことにより孔際に応力が集中し、 $_{sco}$ に対するコンクリート強度差の影響が小さくなったためであると考えられる。

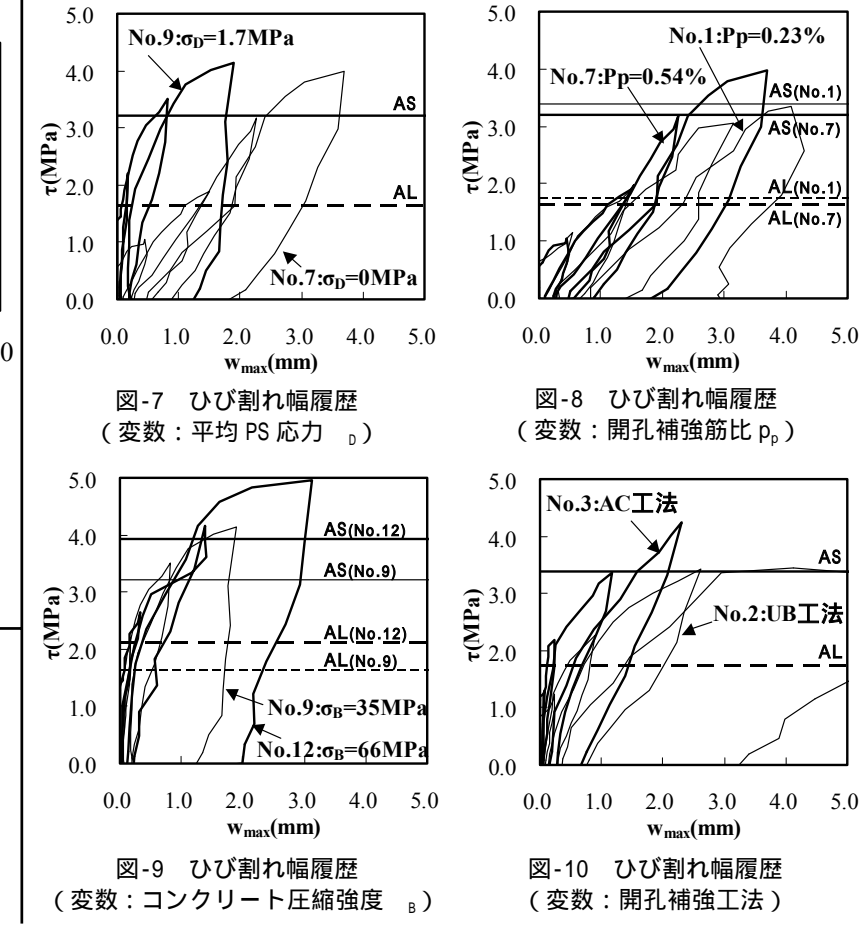
孔部せん断ひび割れ発生後、PS 導入量の大きい試験体ほど孔周囲のせん断ひび割れが抑えられ母材梁せい面にせん断ひび割れが分散した(図-5)、孔部対角方向せん断ひび割れの材軸となす角度は UB 工法試験体で 34°~49°と PS 導入量が大きいほど角度も大きくなった。 AC 工法試験体は孔部から生じたひび割れがコーナーブロックへ進展し、ひび割れと材軸となす角

3.3 孔部最大せん断ひび割れ幅

平均せん断応力 と孔周囲で測定した最大せん断ひび割れ幅 w_{max} との正加力側履歴曲線を図-7~10に示す。図中の AL・AS は RC 規準 $^{2)}$ による無孔梁長期・短期許容せん断応力計算値である。測定は部材角 \pm 1/67rad まで行った。

荷重の増加に伴うひび割れ幅、除荷時のひび割れ幅は PS 導入量、開孔補強筋比が大きいほど小さく抑えられ、 p=1.7MPa 程度の軽微なPS 導入量でも AL 時に p=0MPa の試験体より約 1/20 までひび割れ幅を抑える効果を示した(図-7、8)。約 2 倍のコンクリート強度差とした試験体間でPS 導入しても に対する wmax にほとんど違いはなかった(図-9)。同程度の開孔補強筋比とPS 導入量の UB 工法試験体 No.2 とAC 工法試験体 No.3 では孔部せん断ひび割れ強度はほぼ同じであったが、PC 鋼棒の断面積が大きく長さの短い AC 工法の方が PC 鋼棒の軸方向剛性が高いため、よりひび割れ幅の抑制効果を示した(図-10)。





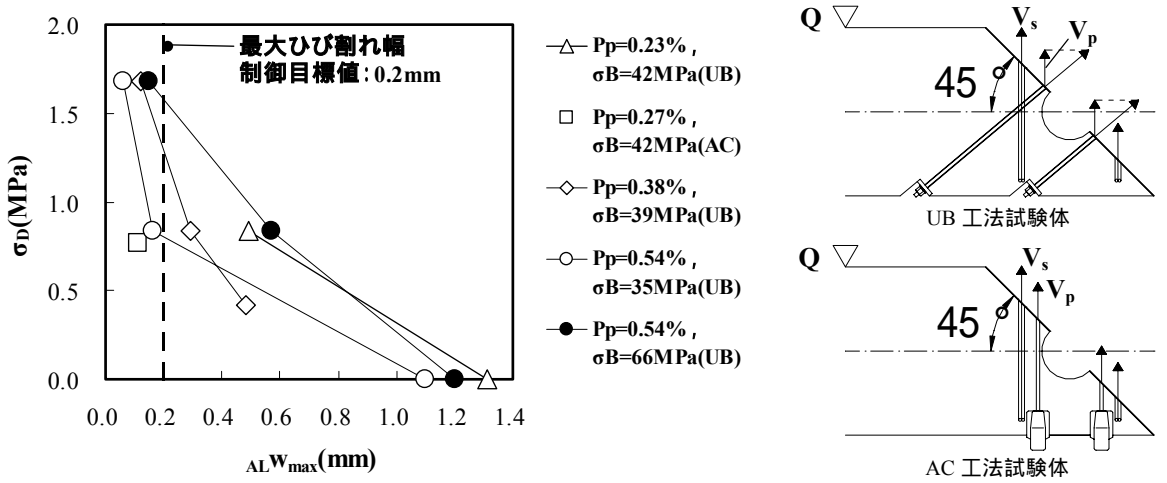


図-11 _Dと_{AL}W_{max}の関係

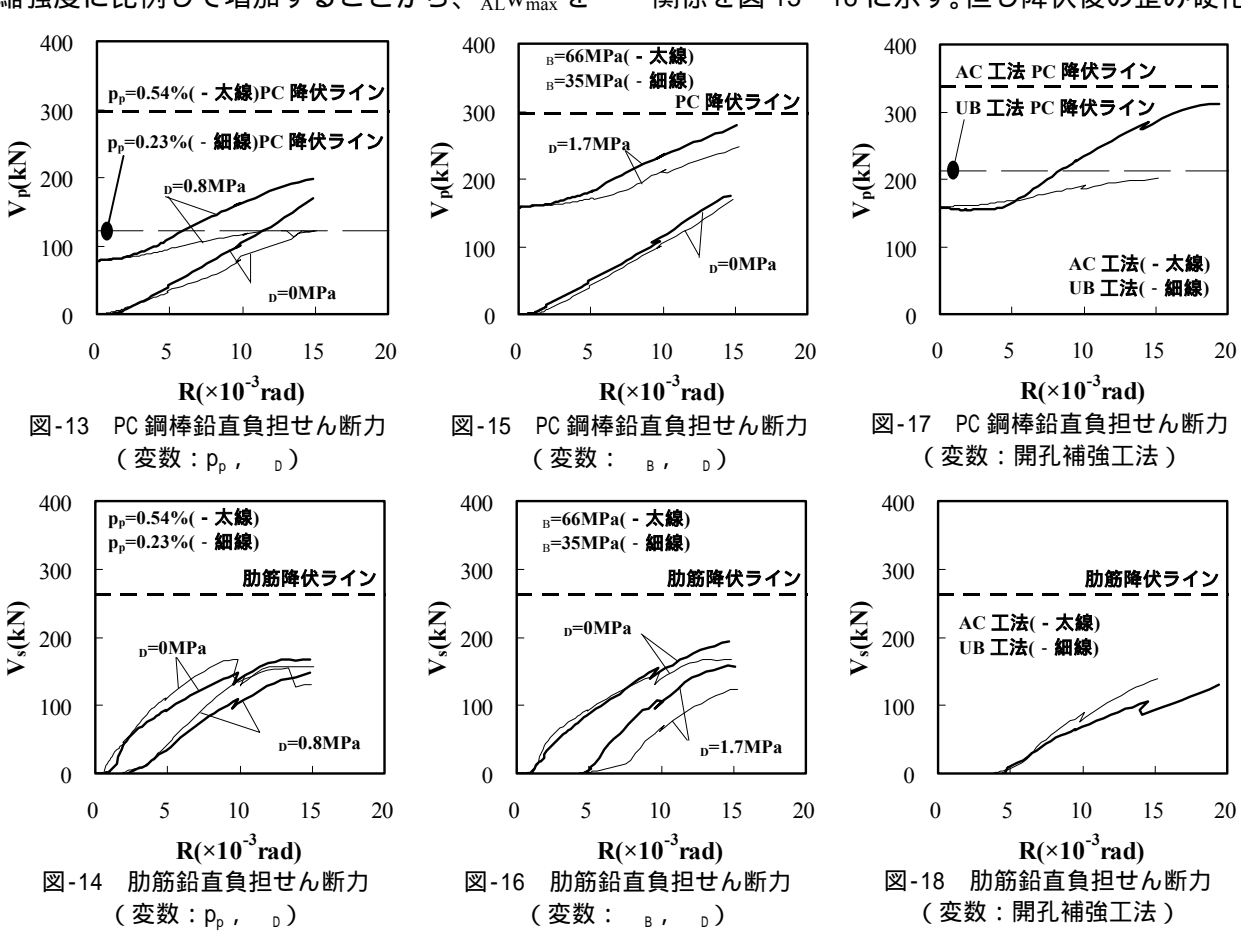
平均 PS 応力 $_{\rm D}$ と AL 時の孔部最大せん断ひび割れ幅 $_{\rm ALW_{max}}$ との関係を図-11 に示す。PRC 指針 $^{3)}$ に基づき AL 時の最大ひび割れ幅制御目標値 0.2mm とした場合、PS 導入していない試験体では $1.10 \sim 1.31$ mm と制御目標値に対して約 6 倍危険側であり、有孔梁は長期許容せん断応力が作用すると制御目標値を上回るひび割れが発生する可能性が非常に高いことが分かる。

また許容せん断応力計算値はコンクリート圧縮強度に比例して増加することから、ALWmax を

図-12 PC 鋼棒・肋筋鉛直負担せん断力 コンクリート強度の異なる試験体間で比較すれ ば高強度コンクリートを用いた方が孔部最大せ ん断ひび割れ幅を大きくとることになり(図-9) ひび割れの損傷に関して不利になる。

3.4 開孔補強筋の挙動

孔部 45° せん断ひび割れ面 (図-12) において、最大耐力までの作用せん断力 Q に対する PC 鋼棒鉛直負担せん断力 V_p 、孔際肋筋鉛直負担せん断力 V_s と部材角 R の最大耐力時までの関係を図 $13 \sim 18$ に示す。但し降伏後の歪み硬化



は考えないものとする。PS 導入量が大きいほど 孔部せん断ひび割れを抑制する為、孔際肋筋の 負担せん断力が増加し始めるのが遅くなってい るのが分かる。最大耐力時には孔際肋筋の負担 せん断力は一定となり、PC 鋼棒負担せん断力の 差分が耐力差になっている(図-13、14)。また コンクリート強度を変数とする試験体間では、 PS 導入しなければ PC 鋼棒・孔際肋筋ともに同 じ挙動を示したが、高強度コンクリート B=66MPaに PS 導入した場合、PC 鋼棒・孔際肋 筋とも負担せん断力が増加する傾向にあり、作 用せん断力に対して有効であったことが分かる (図 15、16)。同じ PC 鋼棒径・初期鉛直方向緊 張力で工法の異なる試験体間では、作用せん断 力に対して平行してPC鋼棒を配置しているAC 工法の方が UB 工法より PC 鋼棒の負担せん断 力が大きく有効に作用した(図17、18)。

3.5 せん断終局耐力

修正広沢式 4)において PC 鋼棒を開孔補強筋とみなした計算値と実験値との対応を検討する。本試験体 12 体と文献 1)の UB 工法試験体 3 体を合わせて考察する。図-19 は縦軸を最大耐力実験値 eQmax、横軸をせん断終局強度計算値cQsuoとしてプロットしたものである。全試験体とも計算値に対する実験値が安全側であるとともに傾向もよく合致している。なお、eQmax/cQsuoの値は UB 工法試験体で 1.14~1.38、AC 工法

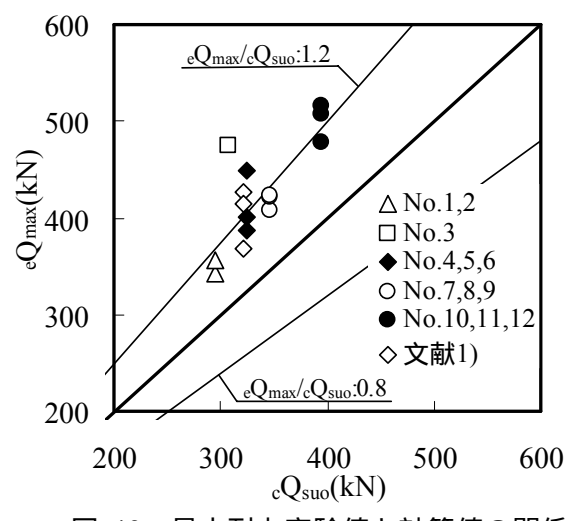


図-19 最大耐力実験値と計算値の関係

試験体で 1.54 だった。AC 工法試験体 No.3 の計算値に対する実験値の安全率が高い理由として、PC 鋼棒が作用せん断力に対して UB 工法より有効に抵抗したためであると考えられる。

4. まとめ

本実験の結果をまとめる。

- 1. 孔部せん断ひび割れ強度は、平均 PS 応力の 増加に伴い上昇した。
- 2. RC 造有孔梁は制御目標値を大きく上回る ひび割れが生じる可能性がある。
- 3. 開孔補強筋比と PS 導入量を適切に設定すれば制御目標値以下にひび割れを抑えることができる。
- 4. 普通強度に比べ高強度のコンクリートに PS を導入した場合、PC 鋼棒・肋筋を有効に利用できる。
- 5. UB 工法・AC 工法試験体ともにせん断終局 強度は PC 鋼棒を開孔補強筋として修正広 沢式で評価できる。

謝辞

本研究は東京工業大学建築物理研究センター、 佐藤工業株式会社との共同研究の一貫として 行われたものであります。本研究に際して多大 な御協力を賜った高周波熱錬株式会社に深く 感謝致します。

参考文献

- 1) 高崎雄太,香取慶一,林 静雄:ひび割れ の抑制を考慮した鉄筋コンクリート造有孔 梁のせん断補強,コンクリート工学,Vol.24 No.2,pp.295-300,2002
- 2) 日本建築学会鉄筋コンクリート構造計算規準・同解説,1999
- 3) 日本建築学会プレストレス鉄筋コンクリート(種PC)構造設計・施工指針・同解説 1986
- 4) 広沢雅也ほか:鉄筋コンクリート造有孔梁 の設計方法に関する総合的な検討,財団法 人日本建築センター,1994
- 5) 高周波熱錬株式会社 AC 耐震補強工法設計 施工指針・同解説, 2000
- 6) 大野義照ほか:鉄筋コンクリート梁のせん 断ひび割れ幅,コンクリート工学,Vol.24, No.2,pp343-348,2002